

## بایو استراتیگرافی و پالثوزئوگرافی سازند های پادها (بخش فوکانی)، خوش بیلاق و مبارک (قاعده) در ناحیه میقان، شمال غرب شهرود واقع در رشته کوه البرز شرقی

محمد قویدل سیوکی<sup>\*</sup>، استاد انسنتیتوی نفت، دانشگاه تهران

فاطمه طاهریان، کارشناس ارشد دانشگاه تهران

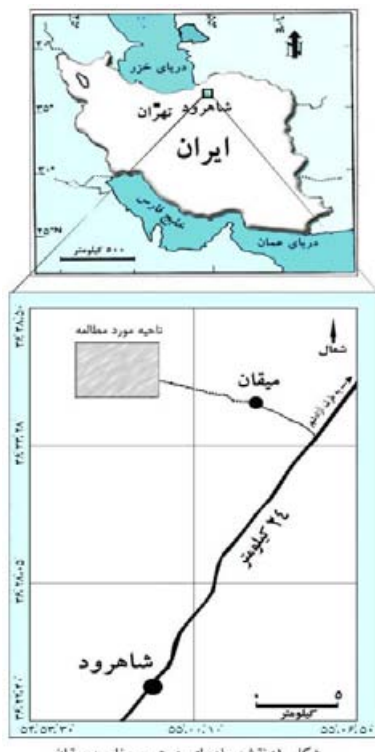
### چکیده

تعداد ۱۰۴ نمونه از سازند های پادها (بخش فوکانی)، خوش بیلاق و مبارک (بخش قاعده ای) در ناحیه میقان انتخاب شد. علاوه بر پالینومورف ها، بر اکیوپودها و فرامینیفر های این نمونه ها مورد بررسی قرار گرفت. در این مطالعه ۱۰۳ گونه میکرو و ماکروفیل جانوری و گیاهی مشخص گردید. از این تعداد ۷۲ گونه پالینومورف (۳۲ گونه میوسپور، ۳۸ گونه آکریتارش، یک کیتینوزاآو یک اسکلوکودونت) می باشد و بقیه را ماکرو و میکروفیل های جانوری (۱۰ گونه فرامینیفر متعلق به ۵ جنس و ۲۱ گونه بر اکیوپود متعلق به ۱۵ جنس) تشکیل می دهد. بر مبنای انتشار چینه شناسی پالینومورف ها، فرامینیفر ها و بر اکیوپودها هشت زون تجمعی شناسایی گردید. زون I در قسمت بالای سازند پادها ظاهر می شود که معرف زمان فراسنین پیشین است. زون های II تا VII در سازند خوش بیلاق وجود دارند که زمان فراسنین میانی تا فامینین پسین را برای این سازند پیشنهاد می کنند. زون VIII در قاعده سازند مبارک وجود دارد که بیانگر سن کربونیفر پیشین (تورنین) می باشد. وجود گونه میوسپور *Archaeoperisaccus opiparus* در بخش فوکانی سازند پادها و گونه های مختلف میوسپور از جمله *Retusotriletes phillipsii* و *Hymenozonotriletes perplexa*, *Vallatisporites pusillites*, *Retispora lepidophyta* سازند خوش بیلاق، معرف آب و هوای گرم و استوایی در زمان ته نشین شدن این دو سازند می باشد. از سویی دیگر نسبت عددی پالینومورف های خشکی به دریایی (K=C.E./M.E.) در رسوبات دونین برابر ۱/۵۸۷ می باشد که این عدد بیانگر ته نشست رسوبات دونین در دریای کم عمق بوده و با نتایج حاصل از مطالعه رسوب شناسی مقاطع نازک ناحیه میقان همخوانی دارد. از طرفی حضور گونه های فیتوپلانکتون (آکریتارش ها) از قبیل: *Deltotosoma intonsum* در این ناحیه و مقایسه ای آن ها با همین گونه ها در زاگرس، ایران مرکزی و نیز کشورهای الجزایر، لیبی، مراکش و غرب استرالیا معرف آن است که این ناحیه بخشی از ابرقاره گندوانا بوده است. واژه های کلیدی: بایو استراتیگرافی؛ رسوبات دونین؛ سازند خوش بیلاق؛ سازند پادها؛ ناحیه میقان؛ شهرود.

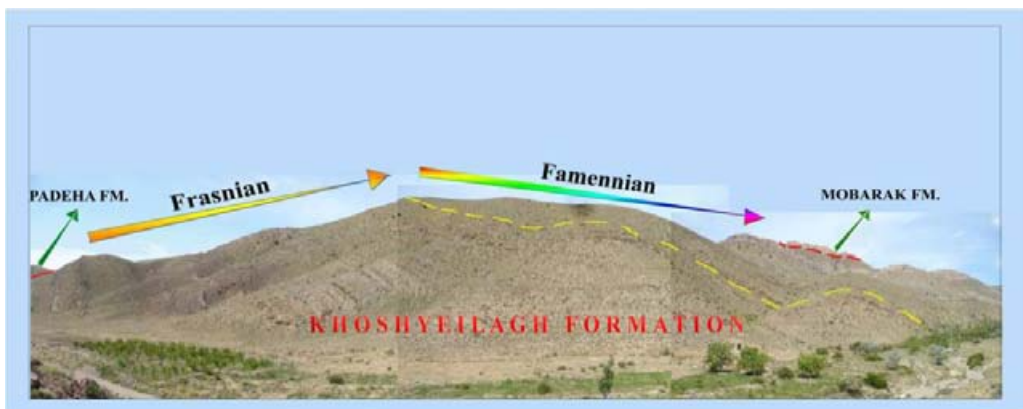
## مقدمه

سکانس رسوبی مورد مطالعه در ناحیه‌ی میقان ۶۰۸ متر ضخامت دارد که از این ضخامت  $۳۳/۹۳$  متر مربوط به سازندپادها،  $۵۲۵/۹۵$  متر مربوط به سازند خوش‌بیلاق و  $۴۸/۰۸$  متر در ارتباط با سازند مبارک می‌باشد. لایه‌های رسوبی فراسنین به صورت همیشیب بر روی سازند پادها می‌باشد و چینه‌های فامنین به صورت تدریجی به سازند مبارک ختم می‌شود (شکل ۲).

برش چینه شناسی ناحیه‌ی مورد مطالعه در نزدیکی روستای میقان، ۲۴ کیلومتری شمال غرب شهر شاهروд با مختصات جغرافیایی طول  $54^{\circ}, 56', 12''$  E و عرض  $36^{\circ}, 37', 17''$  N قرار دارد. محور جاده‌ای آزادشهر- شاهرود مسیر اصلی دسترسی به ناحیه‌ی مورد مطالعه می‌باشد (شکل ۱).



شکل ۱: نقشه راههای دسترسی ناحیه میقان



شکل ۲- نمایش همیری سازند خوش‌بیلاق با سازند پادها و مبارک در ناحیه میقان.

به منظور پالينواستراتيگرافي و شناخت اقليم‌های گياهی سازند خوش‌ييلاق، ميكروفيتوپلانكتون‌های دريایي (اکريتارش‌ها) و پالينوفلورآی خشکی (ميوسپورها)، به همراه ماکروفونا (بازوپايان) و ميكروفونا (روزنبران) ناحيه ميقان انتخاب شد. در اين مطالعه ۱۰۳ گونه ميكرو و ماکروفسيل جانوري و گياهي در آزمایشگاه مورد تجزيه شيميايی قرار گرفت که از ميان آنها ۷۲ گونه ۴۶ جنس (پالينومورف ۳۲ گونه ميوسپور، ۳۸ گونه آكريتارش، يك كيتينوزوا و يك اسكلوكودونت) و ۱۰ گونه ميكروفسيل (روزنبران با ۵ جنس) و ۲۱ گونه ماکروفسيل (بازوپايان با ۱۵ جنس) مورد شناسايي قرار گرفت. بر مبناي انتشار چينه شناسی فسييل‌ها، هشت زون مشخص گردید که از پايین به بالا به شرح زير است:

**زون I:** اين زون در ضخامت ۳۳/۹۳ متری بخش بالايی سازند پادها گسترش دارد که تنابوي از لايه‌های شيل، دولوميت و آهک فسييل دار و ماسه سنگ (FT-MG 1-13) است. اين ضخامت با ظهور گونه‌های ميوسپوری از قبيل

*Archaeoperissacus opiparus Rhabdosporites micropaxillus Calyptosporites velatus, Geminospora punctata Ancyrospora sp., Geminospora lemurata Ancyrospora ampulla, Grandispora mammillata Hymenozonotriletes perplexa Retusotriletes distinctus, Geminospora verrucosa Emphanisporites rotatus, Densoporites rotatus Vallatisporites sp., Hystricosporites furcatus Hystricosporites reflexus Ancyrospora pluchra, Apiculiretusispora sp., Camarozonotriletes parva*

همراه است. ميوسپورهای مشترک اين زون با گزارشات بدست آمده از کشورهای قاره اروپا از جمله: Higgs et al. 1975; Clayton et al. 1977; Higgs 1975; Pereira 2006; Van der Zwan 1980 1988; Turneu 2010; Turneu, ژيوسين-فراسنین مرکز و لهستان (Turneu 2010); Dolby & Neves 1970; Marynowski et al. 2008; Dolby & McGregor 1965; Richardson & McGregor 1970;

### روش کار روی زمین و آزمایشگاه:

در راستاي تعين اقليم گياهي ناحيه ميقان رخمنون مناسيي از اين سازند در ناحيه مورد مطالعه شناسايي گردید. فاصله نمونه برداری به طور متوسط نيم متر به نيم متر انتخاب گردید و جهت دستيابي به نمونه‌های سالم، برای مطالعه‌ی پالينولوزيکي، نمونه‌ها از عمق ۳۰-۵۰ سانتيمتری عمق زمين جمع‌آوري شد. رویهم رفته از ۱۲۰ نمونه طبقه‌بندی شده، ۸۰ نمونه برای پالينومورف‌ها، ۳۰ نمونه برای تهييه مقاطع نازک پتروگرافی و مطالعه ميكروفسيل‌ها و ۱۰ نمونه برای مطالعه براكيوبودها انتخاب گردید. نمونه‌های پالينومورف به روش تجزيه شيميايی جداسازی شد. جهت جداسازی پالينومورف‌ها از کانی‌ها، از محلول‌های شيميايی از جمله اسيد كلريدريلک برای انحلال ترکييات كربناته، اسيد فلئوريدريک برای انحلال ترکييات سيليكاته و از برمات روی (با وزن مخصوص ۲) برای جدا کردن کانی‌های سنگين از پالينومورف‌ها استفاده شد و پس از اتمام مراحل آزمایشگاهی فوق برای جداسازی، مواد آلي باقی مانده از غربال‌های پلاستيکي به قطر ۱۵ ميكرون عبور داده شد و از پالينومورف‌هایي که در برابر اسيد مقاومت کرده بودند، اسلاميد تهييه گردید. در گام بعد جهت مطالعه و شناسايي پالينومورف‌ها و ماكرو و ميكروفسيل‌هاي جانوري از آنها تصاویر ميكروسکوپي تهييه شد و با استفاده از آنها سن لايه‌ها تعين گردید و رسوبات دربرگيرنده‌ي آنها بررسی و مورد تحليل قرار گرفت. به علاوه اكولوژي ناحيه بازسازی و امكان مقاييسه با رسوبات ساير نقاط ايران و جهان فراهم شد. همچنین تعين موقعیت جغرافيايی ديرینه صورت گرفت و ارزیابي آماری ميزان فسييل‌ها و ويژگی‌های جغرافيايی، از جمله موقعیت جغرافيايی، تطابق اين لايه‌ها با ساير نقاط جهان امكان پذير ساخت.

در گروه چاپادا *Chapada punctata* به سن دونین پسین می‌باشد (Grahn, 2010).

میوسپورهای مذکور با گونه آکریتارش‌هایی از جمله *Toranica stela*, *Dictyotidium araiomegronium*, *Stellinium comptum*, *Papulogabata annulata*, *Maranhites perplexus*, *Gorgonisphaeridium discissum*, *Dictyotidium litum*, *Deltotosoma intonsum*, *Veryhachium trispinosum*, *Stellinium octoaster*, *Unellium piriforme*, *Veryhachium pannuceum*, *Striatostellula sparsa*, *Crassiangulina tessellata*, *Tunisphaeridium flaccidum*, *Unellium winslowae*, *Gorgonisphaeridium condensum*, *Lophosphaeridium passillatum*, *Cymatiosphaera perimembrana*, *Dallyidium pentaster*, *Multiplicisphaeridium varioramosum*, *Polyedryxium pharaonis* و *Dictyotidium craticulum*

همراه می‌باشد. آکریتارش‌های این زون با گزارشات بدست آمده از کشورهای اروپایی از جمله *Toca da moura* پرتغال (Pereira 2006), سازند *Holy Cross* بریتانیا (Filipiak 2005), کشورهای آمریکای شمالی از جمله ایالات متحده آمریکا، کانادا، اوهاایو (Wicander & Playford 1985; Wicander 1983; Wicander & Loeblich 1986; & 1986; Wicander & Jardine et al. 1977; 1974), شمال آفریقا (Playford 1977; 1974 Deunff 1974), غنا (AnanYorke 1974), الجزایر (Playford & Playford 1981) و استرالیای غربی (Playford 1981), کشورهای آسیایی از جمله ایالت Dring 1981 ترکیه (Higgs et al. 2002) و ایران (Hakkari Ghavidel-Syooki & Owens 2007; Hashemi & Playford 1996; Syooki 1994; 1995; 1988) قابل مقایسه می‌باشد. علاوه بر گونه‌های میوسپور و آکریتارشی فوق، میکروفیل‌های جانوری از قبیل *Umbella baschkirica*, *Umbella baschkirica* و *Umbella hemisphaerica* در این ضخامت از سازند پادها وجود دارد. با توجه به ارزش چینه‌شناسی هم میوسپورها و نیز گونه‌های فرامینیفر *Umbella baschkirica* و *Umbella hemisphaerica* برای این زون سن فراسنین پیشین پیشنهاد می‌شود (جدول ۱).

Old Red Sandstones (Turner et al. 1986; Richardson 1986; Sandstones Avkhimovitch et al. 1965; Owens, 1971; 1965 Powel & Turnau 1999; Rackaa et al. 2010; al. 1993 2004), آمریکای شمالی از جمله کانادا به سن فراسنین پیشین-میانی (Mcgregor 1961; Staplin 1960; Moreau-Benoit et al. 1985; Gray 1985; Paris et al. 1993; Playford & Balme 1988; Balme & Hassel 1962; 1991; Owens & McGregor & Playford 1992; 1991; Balme 1962; Playford 1976; Strel 1967) همچنین با کشورهای آسیایی از جمله عربستان به سن فراسنین Al-Ghazi 2007; Hemer and Nygreen 1967) (Clayton et al. 2000; Marshall et al. 2007; Ghavidel- Ghavidel-Syooki & Owens 2007) (Syooki 1994 & 1995) قابل مقایسه می‌باشد.

در نگاه کلی میوسپور *Calyptosporites velatus* از زون III به همراه Calyptosporites از زون IV به مطالعه قابل مقایسه با ساب زون پیشین OK از IM در سان فراسنین پیشین شرق اروپا می‌باشد (Rackaa et al. 2010; Avkhimovitch et al. 1993; Turnau 1999). فسیل *Geminospora lemurata* قابل مقایسه با بخش بالای ساب زون AD به سن ژیوسین-دونین میانی و به همراه *Retusotriletes distinctus* در U. S. A. اوهاایو به سن دونین پسین می‌باشد (Wicander 1974). فسیل *Emphanisporites* در زون Ossa Morena در زون rotatus (Pereira, 2006) دونین پسین پرتغال در غرب اروپا و غرب آمریکای شمالی حوضه‌ی Ohio در U.S.A (Hakkari 1974), ایالت Wicander 1974) در شرقی ترکیه به سن دونین پسین (Higgs et al. 2002) مشاهده شده است. این فسیل به همراه میوسپور *Camarozonotriletes parva* در سازند جوف شمال عربستان سعودی به سن امسین (Al-Ghazi 2007) و به *Geminospora* و *Geminospora lemurata* همراه فسیل

جدول ۱- انتشار روزنبران در سازندهای پادها(بخش فوکانی)، خوش بیلاق و مبارک (قاعده).

Genera	Author	Age	Sample
<i>Earlandia</i> sp.	Rauzer 1948	Sil-Tournaisian	FT-MG 96, 89,90
<i>Radiosphaera</i> sp.	-	Tournaisian	FT-MG 96a
<i>Paleospiroplactammina</i> sp.	Lipina 1965	Tournaisian	FT-MG 96a
<i>Bradya</i> sp.	Moeller 1878	Tournaisian	FT-MG 80
<i>Umbella ovata</i>	Bozorgnia1973	Upper Frasnian- Lower Famennian	FT-MG 33
<i>Umbella nana</i>	Reitlinger 1954	Frasnian (Reitlinger 1954)- Upper Frasnian (Bozorgnia1973)	FT-MG 33
<i>Umbella reitlingerae</i>	Bozorgnia 1973	Upper Frasnian- Lower Famennian	FT-MG 33
<i>Umbella rotunda</i>	Bykova 1955	Famennian(Bykova 1955)- Upper Frasnian-Lower Famennian(Bozorgnia 1973)	FT-MG 31
<i>Umbella cf .shahrudensis</i>	Bozorgnia1973	Upper Frasnian Lower Famennian	FT-MG 30
<i>Umbella hemisphaerica</i>	Pojarkov 1960	Frasnian	FT-MG5
<i>Umbella baschkirika</i>	Bykova 1955	Upper Givetian (Bykova 1955) -Upper Frasnian(Bozorgnia 1973)	FT-MG 5

Avkhimovitch et al. Mountain لهستان مرکزی (Turnau 1999; Rackaa et al. 2010; 1993) و میوسپورهای این زون با گزارشات بدست آمده از کشورهای اروپایی بلژیک، بریتانیا، انگلیس شمال شرق اسکاتلند، ایسلند، ایرلند، شرق اروپا (McGregor & Richardson & McGregor 1986; Playford 1992; Richardson 1965; Avkhimovitch et al. 1993; Higgs 1975; Owens 1971)، آمریکای شمالی از جمله کشورهای نیویورک، کانادا (Street & Loboziak 1996; Wicander & Loeblich 1977; 1996)، آمریکای جنوبی-جنوب بزریل (Grahn 2010)، شمال آفریقا شامل میوسپورهایی از فراسینین بولیوی و فامنین پسین الجزایر (Ottone 1996)، غرب استرالیا (Balme 1988) و ایران (Ghavidel-Syooki & Owens, Kimiyai 1979).

**زون II:** در بخش زیرین سازند خوش بیلاق (ما بین زون I (در سازند پادها) و زون III (سازند خوش بیلاق)) قرار دارد و از کنگلومرا و ماسه سنگ تشکیل شده است. این زون فاقد هرگونه ماکرو و میکروفیل گیاهی و جانوری است و ضخامت ۹۷/۹۸ متری از قاعده سازند خوش بیلاق را شامل می شود (شکل ۴ و ۵).

**زون III:** این زون ضخامت ۱۱۰/۲۸ متر از رسوبات سازند خوش بیلاق را شامل می شود که عمدتا از لایه های ماسه سنگی همراه شیل تشکیل شده است. این زون شامل میوسپورهای *Auroraspora turquata*, *Verrucosisporites confertus*, *Lagenicula minutus*, *Verrucosisporites Grandispora megista*, *Verrucosisporites scurrus premnus* میوسپور *Verrucosisporites scurrus* با ساب زون Holy Cross از OK فراسینین پیشین سازند IM پیشین

و آهک می‌باشد. علاوه بر این گونه‌های میوسپور، آکریتارش و میکرو و ماکروفسیل‌های جانوری از زون‌های I و III وارد این زون می‌شوند، این زون با ظهور گونه میوسپور *Leiotriletes liebegensis* همراه می‌باشد که تاکنون از دونین پسین غرب و شمال استرالیا (Balme 1968; Hodgeson 1988) و ایران (Ghavidel-Syooki 1994) گزارش شده است. به علاوه این زون با گونه *Solisphaeridium inaffectum* آکریتارش‌هایی از قبیل *Exochoderma Solisphaeridium spinoglobosum Stellinium Ammonidium loriferum irregulare Polyedryxium embudum micropolygonale Horologinella horologia Navifusa excilis* مشخص می‌باشد که طی گزارشات، تاکنون از کشورهای اروپایی از جمله لهستان، Gorka (بلژیک، انگلیس، شمال غرب اسپانیا) Stockmans & Williere (1960), Filipiak (2005), Cramer (1964)، Amerیکای شمالی از جمله اوهایوی ایالات متحده و اونتاریوی کانادا، دونین پسین کانادا Staplin (1977), Wicander & Playford (1974 & 1975), Wicander & Playford (1985), Nautiyal (1975), Lianda (1986)، Wicander & Loeblich (1977)، Moreau-Coquel & Latrech (1989)، Jardine et al. (1972), Benoit et al. (1993)، Moreau-Benoit et al. (1993)، Playford & Dring (1981)، Playford (1981)، Gao (1986)، Lianda (1986)، Ghavidel-Syooki (Higgs et al. 2002) و ایران (Ghavidel-Syooki 1994 & 1995 & Owens 2007) گزارش شده است. گونه‌های پالینومورف مذکور با ظهور و ناپدید شدن برآکیوپودهایی از جمله *Cyrtospirifer rhukensis Spinatripa chitralensis*

(Ghavidel-Syooki 1994 & 2003, 2007) قابل مقایسه می‌باشد. علاوه بر میوسپورهای فوق آکریتارش‌هایی از جمله *Veryhachium inflatum*, *Veryhachium downiei*, *Michrystridium* و *Cymatiosphaera turbinata stellatum* در این زون مشاهده می‌گردد که تاکنون از بلژیک و سایر کشورهای اروپایی (Stockmans & Beju 1946; Deflandre 1946; Williere 1960 & 1962)، Amerیکای شمالی از جمله کشور کانادا و اوهایوی ایالات متحده و Wicander (Wicander 1975; Playford 1977)، ایندیانا (Turner et al. 1995; Gorka 1974), ۱۹۶۷ (Loeblich 1977)، آفریقا از جمله کشور لیبی و دره‌ی سدار لاوا (Parris et al. 1985)، غرب استرالیا (Playford & Dring 1981)، آسیا از جمله حوضه Higgs (Lianda 1986)، جنوب شرقی ترکیه (Ghavidel-Syooki et al. 2002) و ایران (Hashemi & Playford 1998, 1995 مشاهده شده است. در این زون گونه‌های برآکیوپود *Spinatripa*, *Cyrtospirifer rhukensis* و *chitralensis* و *Cyrtospirifer verneuili echinosus* میکروفسیل‌های جانوری از جمله *Umbella rotunda* و *Umbella ovata*, *Umbella nana* وجود دارد (جدول ۱ و شکل ۴). مشابه این تجمع فسیلی فرامینیفرا از مقطع تیپ این سازند در ناحیه Bozorgnia خوش بیلاق ایران نیز گزارش شده است (Bozorgnia 1973). بر مبنای ارزش چینه شناسی هم گونه‌های پالینومورف و هم میکروفسیل‌های مذکور زمان فراسینین میانی برای این ضخامت از سازند خوش بیلاق پیشنهاد می‌شود (جدول ۱ و شکل ۵).

**زون IV:** این زون در ضخامت ۹۶/۱۴ متر از سازند خوش بیلاق توسعه دارد و عمدتاً تنابوی از آهک شیلی

شرق کانادا (Playford 1964)، استرالیا (Playford 1964)، کشورهای آسیایی از جمله ترکیه (Higgs et al. 1976) و ایران (Ghavidel-Syooki & Owens 2002) و ایران (Ghavidel-Syooki 1994) گزارش شده است. این میوسپور قابل مقایسه با ساب زون LN بلژیک (Strel et al. 1986؛ Richardson and McGregor 1987) به سن فامنین پسین می‌باشد.

قابل ذکر است زون V با افزایش میکروفیتوپلانکتون های دریایی مشخص می‌شود. ظهور گونه آکریتارش *Gorgonisphaeridium ohioense* در نمونه شماره ۵۴ و در ضخامت ۳۴۳/۶۰۸ متر از ضخامت مورد مطالعه اتفاق می‌افتد که به عنوان مشخص کننده مرز فراسنین پسین و فامنین پیشین (انتهای زون حاضر) در نظر گرفته می‌شود. در این زون میکروفیتوپلانکتون های دریایی از *Polyedryxium* و *Ammonidium loriferum* و *Melikeriopalla*، *Navifusa exilis*، *embudum venulosa* که در زون های پیشین ظاهر شده اند؛ انقراض می‌یابند. به علاوه گونه براکیوپودهایی از قبیل *Cyrtiopsisgraciosa*، *chakhaensis*، *Ptychomaletoechia turanica*، *Unispirifer ergomediocris*، *charakensis*، *Pampoecilarhynchus arianus*، *sartenaer Dichospirifer piriformis* و *Platyspirifer minulus* نیز وجود دارد که معرف زمان فامنین می‌باشد (شکل ۳). بر مبنای ارزش چینه شناسی هم گونه‌های پالینومورف و هم براکیوپودها، سن فامنین پیشین برای این بخش از سازندهای خوش بیلاق پیشنهاد می‌شود.

**زون VI:** این زون از لایه‌های آهک و شیل تشکیل شده و در ضخامت ۶۲/۷۷ متر گسترش دارد. این زون با ظهور گونه‌های میوسپوری از قبیل *Retosutriletes phillipsii* و *Grandispora famenensis* و *Diducites mucronatus*

*Ripidiorynchus* و *Cyrtospirifer verneuili echinosus kotalensis* همراه است (شکل های ۳ و ۵) که در مطالعات بیواستریاتیگرافی کشورهای شمال قاره گندوانا (ایران- افغانستان- پاکستان) به علت ظهور براکیوپودهای استاندارد شماره ۸ برایس (Brice 1971) *Ripidiorynchus kotalensis* با زون استاندارد شماره ۸ برایس (1977) قابل مقایسه می‌باشد. این زون با انقراض گونه های فرامینیفر *Umbella nana* و *Umbella reitlingerae rotunda* همراه است. بر مبنای ارزش چینه شناسی هم پالینومورف‌ها و نیز ماکرو و میکروفونا زمان فراسنین پسین برای این ضخامت از سازندهای خوش بیلاق پیشنهاد می‌شود (شکل ۵).

**زون V:** از نظر لیتولوژی این زون شامل تنابی از لایه‌های آهک و شیل است و دارای ضخامت ۷۸/۶۱ متر می‌باشد. این زون علاوه بر ورود گونه‌های زون های پیشین، شامل گونه آکریتارش های *Gorgonisphaeridium* sp. *ohioense Pereira* 2006 و کشورهای آمریکای شمالی از جمله اوهايو، ایالات متحده، ایندیانا (Wicander & Wicander 1974) و کشورهای آسیایی از جمله ترکیه و Loeblich 1977 چین (Higgs et al. 2002؛ Gao 1986) و ایران (Ghavidel-Syooki & Owens 2007) گزارش شده است. میوسپور این زون *Verrucosisporites nitidus* کشورهای اروپایی از جمله ایرلند (VanVeen 1981)، Higgs 1975؛ Van der Zwan & VanVeen 1978؛ Keegan 1977؛ Van der Zwan 1980 Turner et al.؛ Dolby & Neves 1970؛ Dolby 1970)، Toca da moura (Rackaa et al. 2010)، لهستان (1989)، Horton (Pereira 2006)، گروه می سی سیپین پرتغال

با زون شماره ۹ برایس (۱۹۷۷) و دونین پسین شرق اروپا و سازند Holy Cross Mountain لهستان مرکزی و جنوبی (Turnau 1999; Rackaa et al. 2010) قابل مقایسه است (شکل ۳). بر مبنای ارزش چینه شناسی هم پالینومورف‌ها و هم برآکیوپودها، زمان فامینین میانی-پسین برای این ضخامت از سازند خوش‌بیلاق پیشنهاد می‌شود.

**زون VII:** این زون در ضخامت ۷۹/۱۸ متری انتهایی سازند خوش‌بیلاق وجود دارد که از لایه‌های شیل و ماسه سنگ تشکیل شده است. در این زون گونه مشخص *Retispora lepidophyta* به همراه میوسپور *Vallatisporites pusillites* وجود دارد. میوسپورهای این زون تاکنون از کشورهای اروپایی از جمله انگلستان، ایرلند- جنوب ایرلند ناحیه بانتری بای، بلژیک، سازند Toca da moura هولی کراس مونتین لهستان مرکزی، Maziane et al. (Van Veen 1981; Pereira, Filipiak 2005; Van der Zwan 1980, 2002; Dolby & Neves; Avkhimovitch et al. 1993, 2006), (Rackaa et al. 2010; McNestry 1988, 1970; Loboziak et al. 1991; Playford 2010) آمریکای جنوبی از جمله حوضه‌ی آمازون (Grahn 1991) و کشورهای آسیایی شامل سازند جوف کشور عربستان و ایالت Hakkan ترکیه و یانگ چین (Al-Hazmi et al. 2002; Lianda 1986; Ghazi 2007) و ایران (Ghavidel-Syooki & Owens 2007) گزارش شده است.

ظهور میوسپور *Retispora lepidophyta* قابل مقایسه با ساب زون LL فامینین پسین بلژیک (Strel et al. 1987) و ساب زون پیشین (Richardson & McGregor 1986) از VF از سازند Holy Cross Mountain لهستان مرکزی (Avkhimovitch et al. 1993) می‌باشد.

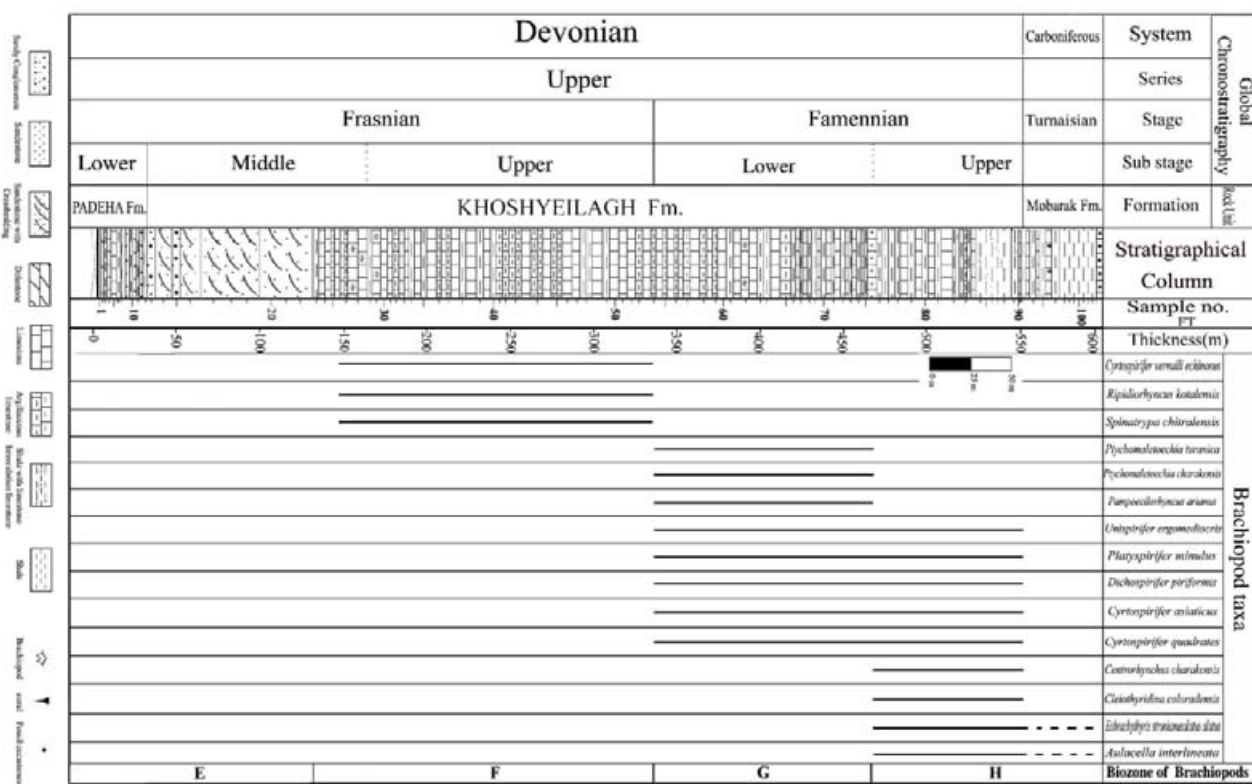
و *Indotriradiates explanatus* مشخص می‌شود. این میوسپورها تاکنون از کشورهای اروپایی از جمله ایرلند- ناحیه بانتری بای، سازند Holy Cross Mountain شرق Avkhimovitch et al. (Rackaa et al. Van der Zwan 1980; Strel 1986, 1993; Obukhovskaya 2000; Filipiak 2004; al. 2010 Clayton et al. Becker et al. 1974; Strel et al. 1987 Higgs & Richardson & McGregor 1986; al. 1977 Clendening et al. (Van Veen 1981, 1996 Grahn & 1980), کشور بزرگی از آمریکای جنوبی (Henrique 2003) و کشورهای آسیایی از جمله فراسینین غرب روسیه (Naumova 1953)، ایالت Hakkan (Ghavidel-Syooki & 2002) و ایران (Higgs et al. 2002; Ghavidel-Syooki 1994 & 1996; Owens 2007) گزارش شده است. در این زون میوسپور *Indotriradiates explanatus* قابل مقایسه با ساب زون Holy Cross LE بلژیک با سن فامینین پسین از سازند Avkhimovitch et al. 1993) لهستان Mountain (Turnau 1999; Rackaa et al. 2010 می‌باشد. همچنین میوسپور *Grandispora famenensis* قابل مقایسه با ساب زون پیشین DG از VF با سن فامینین پسین از سازند Avkhimovitch et al. (Holy Cross Mountain Turnau 1999; Rackaa et al. 2010) می‌باشد. علاوه بر پالینومورف‌های مذکور در این زون گونه‌های *Unispirifer ergomediocris*, *Dichospirifer piriformis*, *Platyspirifer minulus*, *Cyrtospirifer quadratus*, *Cyrtospirifer asiaticus*، وجود دارد. قابل ذکر است؛ بیوزون‌های دوازده گانه برایس، مناطق ایران، افغانستان و پاکستان را در بر می‌گیرد و به علت ظهور برآکیوپودهای *Cyrtospirifer* این زون زیستی *Cyrtospirifer quadratus* و *asiaticus*

شناسایی گردید (شکل ۳). به جهت ظهور برکیوپود *Eobrachythrys strianus alatus* با زون شماره ۱۱ برایس می‌باشد. بر مبنای ارزش چینه شناسی پالینومورف‌ها از جمله ظهور و انقراض میوسپور *Retispora lepidophyta* و برکیوپودهای مذکور، سن فامینین پسین برای این ضخامت از سازند خوش‌یلاق پیشنهاد می‌شود (شکل ۵).

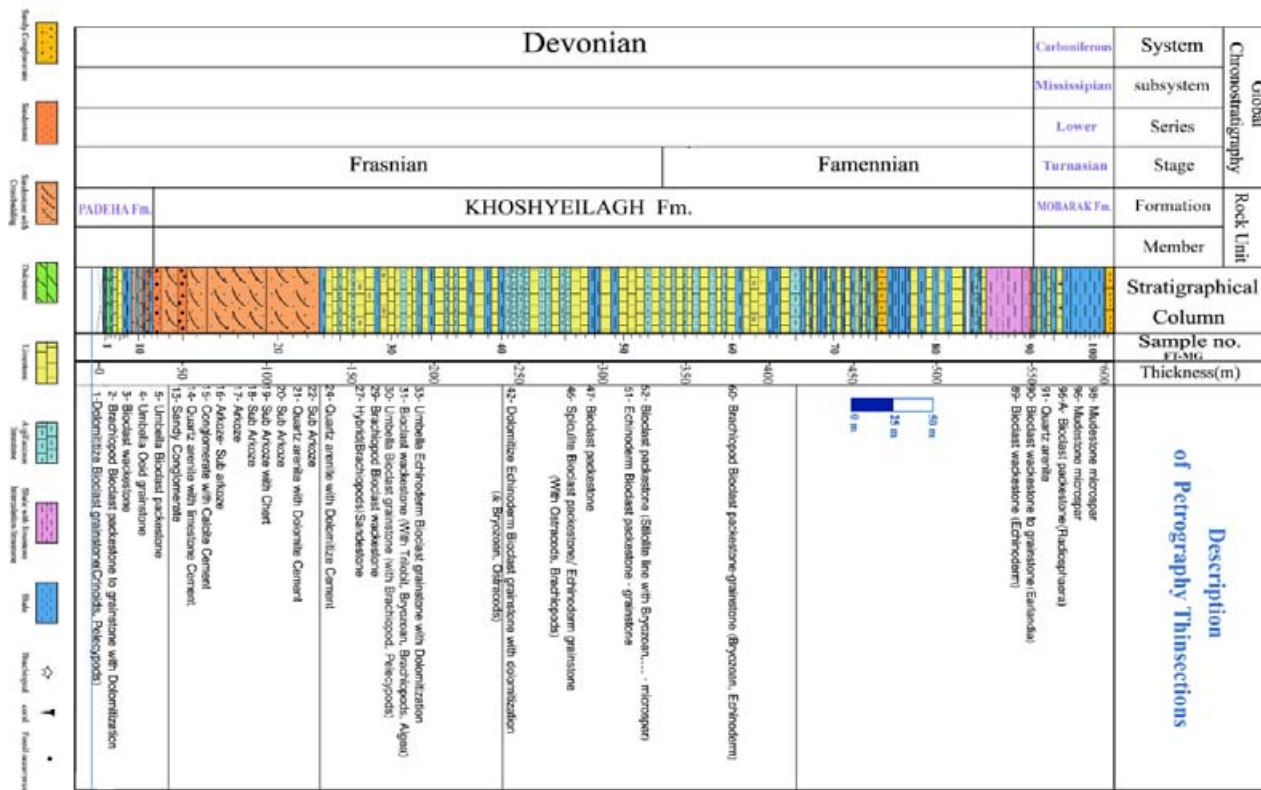
**زون VIII:** این زون عمدتاً از لایه‌های شیل و آهک تشکیل شده و ضخامت از سازند مبارک را در بر می‌گیرد. در این زون پالینومورف‌هایی که گسترش سنی آنها تا کربونیفر پیشین ادامه دارد؛ شامل گونه *Gorgonisphaeridium ohioense* و *Verrucosisporites nitidus* میوسپورهای *Diducites mucronatus*, *Vallatisporites pusillites* میکروفسیل‌های *Auroraspora torquata*, *Radiosphaera* sp., *Earlandia* sp., *Bradyra* sp., *Paleospiroplactammina* sp. زون وجود دارند. بر مبنای ارزش چینه شناسی، گسترش و ناپدید شدن پالینومورف‌ها و نیز ظهور میکروفسیل‌ها، زمان کربونیفر پیشین (تورنرین) برای این ضخامت از سازند مبارک پیشنهاد می‌شود (شکل ۵).

همراهی *Indotriradiates* و *Retispora lepidophyta* و *explanatus*، ابتدای این زون قابل مقایسه با ساب زون LE غرب اروپا و ساب زون LF روسیه می‌باشد؛ انقراض *Retispora lepidophyta* در بخش انتهای این زون مطابق با ساب زون PLE روسیه است (Filipiak 2004).

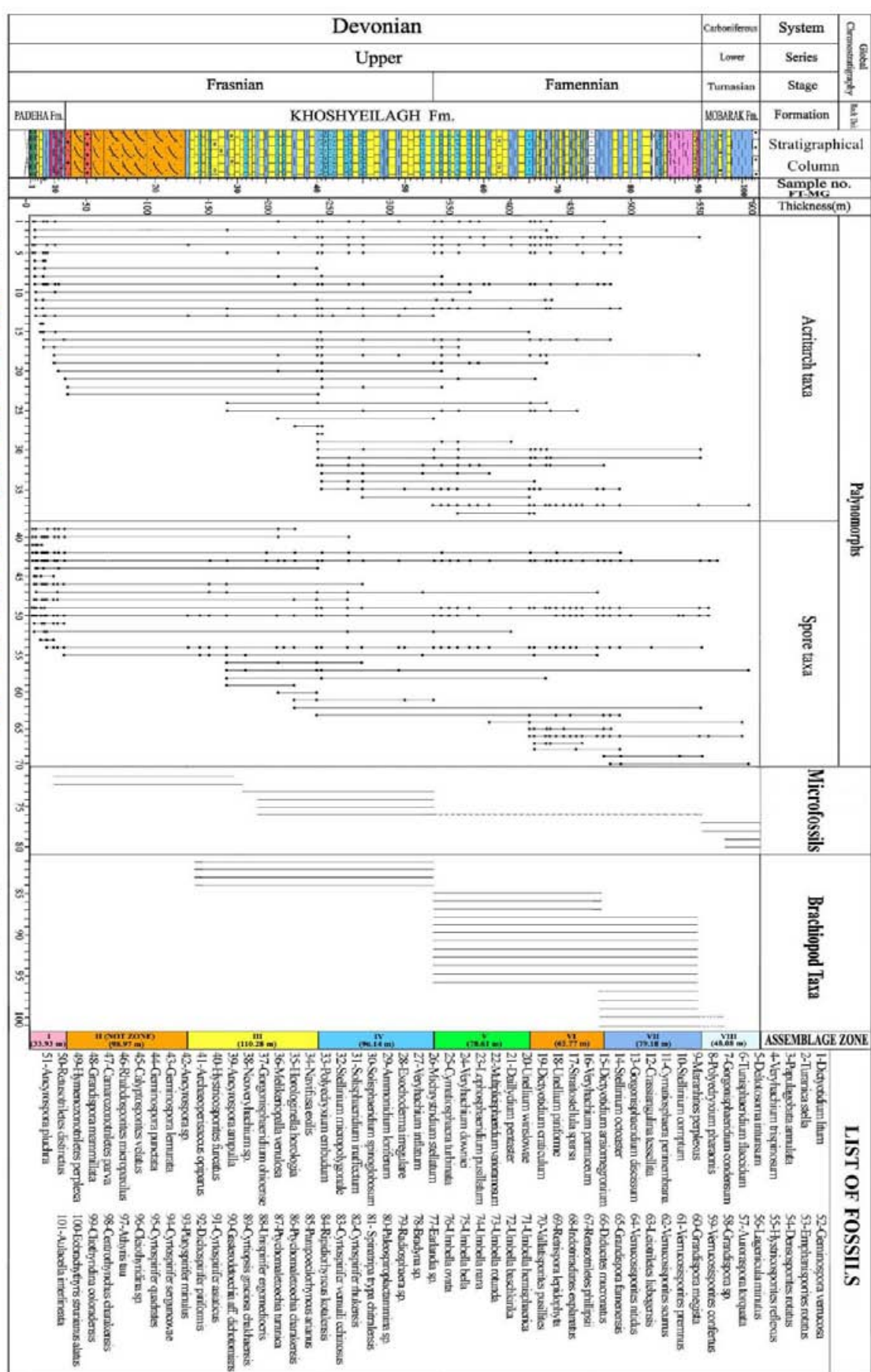
می‌توان یادآور شد اکثر پالینومورف‌هایی که از زون‌های پیشین وارد این زون و در انتهای این زون متقرض می‌شود شامل میوسپورهای *Densosporites rotatus*, *Retusotriletes*, *Hymenozonotriletes perplexa* و *Geminospora lemurata distinctus*, *Unellium piriforme*, *Papulogabata annulata*, *Solisphaeridium* و *Solisphaeridium inaffectum*، *spinoglobosum* می‌باشند. همچنین برکیوپودهایی از *Cyrtospirifer sergunkovae*, *Athyris tau* قبیل *Cyrtospirifer*, *Gasterodetoechia dichotomians*, *Platyspirifer*, *Dichospirifer piriformis asiaticus* و گونه‌های *Centrorhynchus charakensis minulus*, *Cleiothyridina* و *Cyrtospirifer quadrates* برکیوپود *Aulacella interlineata* و *coloradensis* در این زون، *Eobrachythrys strianus alatus*



شکل ۳- انتشار چینه شناسی بازوپایان سازند خوش بیلاق ناحیه میقان در این تحقیق.



شکل ۴- بررسی مقاطع نازک سنگ های ناحیه میقان در این تحقیق.



شکل ۱: اندار چند شناسی پالئوژئوگرافی (ا) سرمه زدن، آکریتاریز (ب) رورزیران و برآکریدیو دهان در سازندهای پادها (پوشش فرقی)، جوش پلاستیک و مبارک شماره دار.

## نتیجه‌گیری

پیشین با یک پیشروی بلند مدت و یک کاهش عمق در انتهای فامنین همراه است.

بر مبنای مقایسه‌ی بازوپایان سازند خوش‌بلاع (زون‌های *III*, *IV*, *V*, *VI* و *VII*) را ملاحظه فرمایید) با افق‌های رسوبی همزمان آن در افغانستان می‌توان نتیجه گرفت که ایران و بخش‌هایی از افغانستان در دونین پسین حوضه‌ی رسوبی واحدی را تشکیل داده‌اند و در عرض جغرافیایی مشابه قرار داشته‌اند. همچنین حضور گونه‌های *Papulogabata Deltotosoma intonsum*، *Maranhites perplexus*، *annulata* و *Gorgonisphaeridium dicissum* در این ناحیه، حوضه‌های زاگرس و ایران مرکزی و نیز کشورهای الجزایر، لیبی، مراکش و غرب استرالیا معروف آن است که ناحیه مورد مطالعه جزء ابر قاره گندوانا بوده است.

## منابع

- 1- Al-Ghazi, A., 2007, New evidence for the Early Devonian age of the Jauf Formation in northern Saudi Arabia: Revue de Micropaléontologie, v. 50, Issue 1, p. 59-72.
- 2- Anan-Youke, R., 1974, Devonian Chitinozoa and Acritarchs from exploratory oil wells on the Shelf and coastal region of Ghana, West Africa: Geol., Surv., Bul. 37, p.1-216.
- 3- Avkhimovitch, V.I., E.V., Tchibrikova, T.G., Obukhovskaya, A.M., Nazarenko, V.T., Umnova, L.G., Raskatova, V.N., Mantsurova, S., Loboziak, and M., Streel, 1993, Middle and Upper Devonian Miospore Zonation of Eastern Europe: Bulletin des Centres de Recherches Exploration-Production elf Aquitaine, v. 17, N.1, p. 78-147.
- 4- Balme, B.E., and C. W., Hassel, 1962, Upper Devonian spore from the Canning Basin, Western Australia: Micropalaeontology, No.1, p.1-28.
- 5- Balme, B.E., 1988, Miospore From Late Devonian (Early Frasnian) Strata, Carnarvon Basin, Western Australia: Paleontographica, Lfg. 4-6, Band 209, p. 109-166.

پالینومورف‌های سازند خوش‌بلاع در برش چینه شناسی میقان شامل دو گروه عمده‌ی پالینومورف‌های خشکی (میوسپورها) و دریایی (آکریتارش، کیتینوزوا و اسکلوکودن) می‌باشد. بر مبنای گسترش پالینومورف‌ها به همراه میکروفیل جانوری (*Umbella*), سن بخش بالایی سازند پادها فراسینین پیشین تعیین می‌گردد. شایان ذکر است در این مطالعه گونه آکریتارش *Exochoderma irregularare* برای اولین بار در ایران مشاهده گردید (به زون *IV* مراجعه گردد).

سازند خوش‌بلاع در ناحیه مورد مطالعه با پنج زون و در محدوده‌ی سنی ۳۵۵ تا ۳۷۵ میلیون سال پیش (*IUGS*, 1989)، یعنی آشکوب‌های فراسینین میانی - فامنین پسین قرار دارد.

در راستای تعیین محیط زیست و تهنشست دیرینه همچنین جغرافیای دیرینه باستی تاکید کرد که وجود گونه‌های مختلف میوسپور از جمله *Archaeoperisaccus*, *Vallatisporites*, *Retispora lepidophyta* و *opiparus*, *Hymenozonotriletes perplexa pusillites* به *Geminospora lemurata*, *Retusotriletes phillipsii* همراه مرجان و گونه‌های براکیوپود در سازند خوش‌بلاع، نشانگر آب و هوای گرم و استوایی در زمان تهنشین شدن این سازند می‌باشد. همچنین ضریب K معرف نسبت پالینومورف‌های خشکی به دریایی (K=C.E./M.E.) در این مطالعه برابر ۱/۵۸۷ محاسبه گردید و نشان دهنده‌ی محیط ساحلی کم عمق برای نهشته‌های این سازند در ناحیه میقان می‌باشد. نتایج بدست آمده از محیط تهنشست دیرینه‌ی پالینومورف‌ها با نتایج بدست آمده از مقاطع نازک پتروگرافی (شکل ۴) و نیز محیط زیست دیرینه‌ی میکرو و ماکروفیل‌ها همخوانی دارد و نشان از یک محیط نزدیک ساحل با دریایی باز و کم عمق همراه با آب و هوایی گرم و استوایی است که در طی آشکوب‌های فراسینین و فامنین

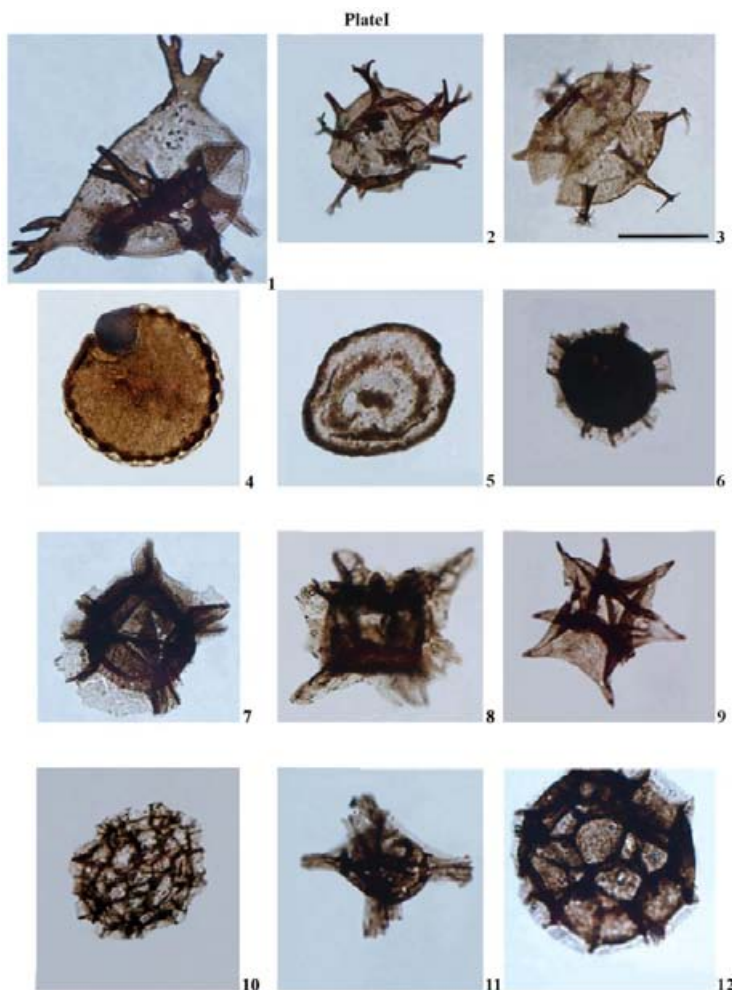
- (Devono-Carbonifere du basin d'Iizi Sahara Algerin oriental): *Paleontographica*, Abt. 212, p. 47-70.
- 15- Cramer, F. H., 1964, Microplankton from three Paleozoic formations in the province of Leon (northwest Spain): *Leidse Geologische Mededelingen*, v. 30, p. 254-361.
- 16- Deflandre, G., 1945, Fichier micropaleontologique serie 8. *Hystrichoshaerides III. Espèces du Primaire: Archives originales, Centre de documentation, centre national de recherché scientifique, France*, no. 257, p. I-V, Piches 1096-1185.
- 17- Deunff, J., 1961, Un micropalancton à hystrichosphères dans le Tremadoc du Sahara: *Rev. Micropaleont.*, v. 1(4), p. 37-52.
- 18- Dolby, G., 1970, Spore assemblages from the Devonian-Carboniferous transition measures in south-west Britain and southern Eire: Colloque sur la Stratigraphie du Carbonifère, Congrès et Colloques, Université de Liège, v. 55, p. 267-274.
- 19- Dolby, G., and R., Neves, 1970, Palynological evidence concerning the Devonian Carboniferous boundary in the Mendips, England (Sheffield, 1967): Compte Rendu du 6e Congrès International de Stratigraphie et Géologie du Carbonifère, v. 2, p. 631-646.
- 20- Filipiak, P., 2004, Miospore stratigraphy of Upper Famennian and Lower Carboniferous deposits of the Holy Cross Mountains (central Poland): Review of Palaeobotany and Palynology, v. 128, Issues 3-4, p. 291-322.
- 21- Filipiak, P., 2005, Late Devonian and Early Carboniferous acritarchs and prasinophytes from the Holy Cross Mountains (central Poland): Review of Palaeobotany and Palynology, v. 134, Issues 1-2, p. 1-26.
- 22- Guo, L., 1986, Late Devonian and early Carboniferous acritarchs from Nyalum Country, Xizang (Tibet), China: *Rev.Palaeobot. Plynol*, v. 47, p. 17-30.
- 6- Beju, D., 1967, Quelques spores, acritarches et chitinozoaires d'âge dévonien inférieur de la plate-forme moesienne (Roumanie), Original Research Article: Review of Palaeobotany and Palynology, v. 5, Issues 1-4, p. 39-49.
- 7- Becker, G., M.J.M., Bless, M., Streel, and J., Thorez, 1974, Palynology and ostracod distribution in the Upper Devonian and basal Dinantian of Belgium and their dependence on sedimentary facies: *Mededelingen Rijks Geologische Dienst*, N.S. 25, p. 9-99.
- 8- Bozorgnia, F., 1973, Paleozoic Foraminifera Biostratigraphy of Central and East-Alborz Mountains, Iran': Nation Iranian oil Company, Geological Laboratories, Publication. No. 4, p.185.
- 9- Brice, D., 1971, Etude paleontologique et stratigraphique du Devonian de l'Afghanistan, Contribution A La connaissance des brachiopods et des polypiers rugueux, 364 p.
- 10- Bykova, E.V. and E.I., Polenova, 1995, Foraminifers et Radiolaires de la région Volga-Oural, et du bassin Dévonien central et leur importance stratigraphique: Trav. VNIGRI, USSR, n.s.no. 47, p. 141, pl. I-XXIV, Trad.B.R.G.M. no. 1603.
- 11- Clayton, G., K. Higgs, and J.B., Keegan, 1977, Late Devonian and Early Carboniferous occurrences of the miospore Genus *Emphanisporites* McGregor, 1961 in Southern Ireland, *Pollen et Spores*, v. 19(3), p. 415-425.
- 12- Clayton, G., B., Owens, S., Al-Hajri and J., Filatoff, 2000, Latest Devonian and Early Carboniferous miospore assemblages from Saudi Arabia. In: Al-Hajri, S., Owens, B. (Eds.), *Stratigraphic palynology of the Palaeozoic of Saudi Arabia: GeoArabia, Bahrain, Special Publication*, v. 1, p. 146-153.
- 13- Clendening, J.A., L.E., Eames and G., Wood, 1980, *Retusotritetes phillipsii* n. sp., a potential Upper Devonian guide palynomorph, *Palynology*, v. 4, p. 15-22.
- 14- Coquel, R., and S., Latreche, 1989, Etude palynologique du La formation D'herence

- Brazil: Review of Palaeobotany and Palynology, v. 124, Issues 3-4, p. 131-202.
- 32- Grey, K., 1991, A mid-Givetian miospore age for the onset of reef development on the Lennard Shelf, Canning Basin, Western Australia: Review of Palaeobotany and Palynology. v. 68, Issues 1-2, p. 37-4826.
- 33- Hemer, D. O., and P. W., Nygreen, 1967, Devonian palynology of Saudi Arabia, Rev. Palaeobot. Palynol, v. 5, p. 51-61.
- 34- Higgs, K. T., 1975, Upper Devonian and Lower Carboniferous miospore assemblage from Hook Head, Ireland: Micropalaeontology, v. 21(4), p. 393-419.
- 35- Higgs, K.T., G.,Clayton, and J.B., Keegan, 1988, Stratigraphic and Systematic Palynology of the Tournaisian rocks of Ireland, Special Geological Survey of Ireland, p. 7, 5-93.
- 36- Higgs, K. T., 1996, Taxonomy and systematic study of some Tournaisian (Hastarian) spores from Belgium, Riew of Palaeobotany and Palynology, v. 93, Issues 1-4, p. 269-297.
- 37- Higgs, K. T., D., Finucane, and I. P., Tunbridge, 2002, Late Devonian and early Carboniferous microfloras from the Hakkari Province of southeastern Turkey: Review of Palaeobotany and Palynology, v. 118, Issues 1-4, p. 141-156.
- 38- Hashemi, H., and G., Playford, 1998, Upper Devonian Palynomorph of the Shishtu Formation, Central Iran Basin, east-central Iran: Abt., Palaeontographica, B. 246, p.115-212.
- 39- Hodgson, E. A., 1968, Devonian Spores from the Pertnjara formation, Amadeus Basin: thern Territory-Bulltine Bureau of Mineral Resources, Geology & Geophysics, v. 80, p. 67-82.
- 40- Jardine, S., A., Combaz, L., Maglorie, Peniguel, and G., Vachey, 1972, Acritarchs du Silurian terminal, et du Devonian Sahara Algerian, Compte Rendu, Septieme Congress International de Stratigraphie ed de Geologie du Carbonifer,(Krefeld, 1971). v. 1, p. 295-311.
- 23- Ghavidel-Syooki, M., 1994, Upper Devonian Acritarchs and Miospores from the Geirud Formation in Central Alborz Range, Northern Iran: Journal of Sciences Islamic Republic of Iran, v.5, No.3, p.103-122.
- 24- Ghavidel-Syooki, M., 1995, Palynostratigraphy and palaeogeography of a Palaeozoic sequence in the Hassanakdar area, Central Alborz Range, Northern Iran: Review of palaeobotany and palynology, v. 86, p. 91-109.
- 25- Ghavidel-Syooki, M., 1996, Palynostratigraphy and paleogeography of the Late Devonian in northeastern Esfahan city, Central Iran: Proceeding of the IX international palynological congress, Houston, Texas, U. S. A.
- 26- Ghavidel-Syooki, M., 2003, Palynostratigraphy of Devonian sediments in the Zagros Basin, southern Iran: Review of Palaeobotany and Palynology, v. 127, Issues 3-4, p. 241-268.
- 27- Ghavidel-Syooki, M., and B., Owens, 2007, Palynostratigraphy and palaeogeography of the Padeha, Khoshyeilagh and Mobarak formations in the eastern Alborz Range (Kopeh-Dagh region), northeastern Iran: Revue de Micropaleontology, v. 50(1), p. 129-144.
- 28- González, F., 2009, Reappraisal of the organic-walled microphytoplankton genus Maranhites: morphology, excystment, and speciation: Review of Palaeobotany and Palynology, v. 154, Issues 1-4, p. 6-21.
- 29- Gorka, H., 1974, Les acritarches de concretions calacries de Famennian superior de Lagow (Mounts do Sauinte croix, pdog): Actapal a contogica polonica, v. 19, p. 225-250.
- 30- Grahn, Y., 2010, Palynostratigraphy of the Chapada Group and its significance in the Devonian stratigraphy of the Paraná Basin, south Brazil: Journal of South American Earth Sciences, v. 29, Issue 2, p. 354-370.
- 31- Grahn, Y., and J.G., Henrique, 2003, Devonian-Early Carboniferous miospore biostratigraphy of the Amazon Basin, Northern

- 50- McGregor, D.C., 1961, Spores with proximal radial pattern from the Devonian of Canada: *Geol. Survey Canada, Bull.*, v.79, p.1-11.
- 51- McGregor, D. C., and G., Playford, 1992, Canadian and Australian Devonian spores zonation and correlation: *Geological Surv. Can., Bull.*, 438, p. 1-120.
- 52- McNestry, A., 1988, The palynostratigraphy of two uppermost Devonian-lower carboniferous borehole sections in South Wales: *Review of Palaeobotany and Palynology*, v. 56, Issues 1-2, p. 69-78, 81-87.
- 53- Moreau-Benoit, A., R., Coquel, and S., Latreche, 1993, Étude palynologique du dévonien du bassin d'illizi (Sahara oriental algérien). Approche biostratigraphique: *Geobios*, v. 26, Issue 1, p. 3-31.
- 54- Moeller, V. V., 1880, Ueber einige Foraminiferen fuhrende Gesteine Persiens: *Jahrb. Kais. Koen. Geol. Reichsanstalt*, Bd. 30, Heft. IV, pp. 573-586, Taf. IX-X.
- 55- Naumova, N. S., 1953, Upper Devonian spore-pollen assemblages of the Russian Platform and their straitigraphic significance (in Russian): *Trance. Inst Geol. Sci. Acand. Sci. USSR*, v. 143, p. 1-204.
- 56- Nautiyal, A. C., 1975, Occurrence of microplankton in the middle Devonian rocks of Soskatchewan and Alberta: *Canada Current Sci*, v. 44, p. 851-853.
- 57- Obukhovskaya, T.G., 2000, Miospores from the Frasnian–Famennian Boundary deposits in Eastern Europe (the Pripyat Depression, Belarus and the Timan–Pechora Province, Russia) and comparison with Western Europe (Northern France): *Review of Palaeobotany and Palynology*, v. 112, Issue 4, p. 229-246.
- 58- Ottone, E. G., 1996, Devonian palynomorphs from the Los Monos Formation, Tarija Basin Argentina: *Palynology*, v. 20, p. 105-155.
- 59- Owens, B., 1971, Miospore from Middle and Early Upper Devonian rocks of the Western 41- Keegan, J.B. ,1997, Late Devonian and Early Carboniferous miospores from the Galley Head-Leap Harbour region of southwest Ireland: *Pollen et Spores*, v.19, p. 545-573.
- 42- Kimyai, A., 1979, Devonian spores from the Hassanakdar area, Iran: *Pollen et Spores*, v. 21, p. 41-49.
- 43- Lianda, G., 1981, Devonian spore assemblages of China: *Review of Palaeobotany and Palynology*, v. 34, Issue 1, p. 11-23.
- 44- Lianda, G., 1986, Late Devonian and Early Carboniferous Acritharch from Nyalum, China: *Rev. Palaeobot. Palynol*, VA 7, p. 17-30.
- 45- Lipina, O.A., 1965, Systematics of the Tournayellidae: *Acad. Sci. of USSR, Geol. Inst. Transaction* v. 130, p. 1-96, pl. I-XXIV.
- 46- Loboziak, S., M., Streel, M., Caputo, J., Henrique, and J., Melo, 1991, Evidence of west Europeandefined miospore Zones in the Uppermost Devonian and Lower Carboniferous of the Amazonas Basin (Brazil): *Geobios*, v. 24, Issue 1, p. 5-11.
- 47- Marshall, J., A.M., Miller, J., Filatoff, and KH., Alshahab, 2007. Two new Middle Devonian megaspores from Saudi Arabia Deux nouvelles mégaspores du Dévonien moyen d'Arabie Saoudite: *Revue de Micropaléontologie*, v. 50, Issue 1, p. 73-79.
- 48- Marynowski, L., P., Filipiak, and A., Pisarzowska, 2008, Organic geochemistry and palynofacies of the Early–Middle Frasnian transition (Late Devonian) of the Holy Cross Mountains, Southern Poland: *Palaeogeography, Palaeoclimatology, Palaeoecology*, v. 269, Issues 3-4, p. 152-165.
- 49- Maziane, N., K.T., Higgs, and M.,Streel, 2002, Biometry and paleoenvironment of *Retispora lepidophyta* (Kedo) Playford, 1976 and associated miospores in the latest Famennian nearshore marine facies, eastern Ardenne (Belgium): *Review of Palaeobotany and Palynology*, v. 118, Issues 1-4, p. 211-222.

- Bondc, 2010, Anoxic Annulata Events in the Late Famennian of the Holy Cross Mountains (Southern Poland): Geochemical and palaeontological record: Palaeogeography, Palaeoclimatology, Palaeoecology, In Press, Corrected Proof.
- 70- Reitlinger, E.A., 1954, Foraminifères du Devonian de quelques coupes de la partie oriental de la use, VINIGRI: Paleont. Sborn., SSSR., no. 1, pp. 52-81, pl. I-VI, Trad. B.R.G.M., no. 1652.
- 71- Richardson, J.B., 1965, Middle Old Red Sandstones spore assemblages from the Orcadian Basin, north-east Scotland: Palaeontology, v. 7, p. 559–605.
- 72- Richardson, J.B., and D.C., McGregor, 1986, Silurian and Devonian Spore Zones of the Old Red Sandstone Continent and Adjacent Regions: Geological Survey of Canada, Bull. 364, p. 1-37.
- 73- Rauzer, C.D.M., 1948, Foraminifères et stratigraphie du Viseen et du Namuriens des regions centrales de la Plateforme Russe, et du Pre-Oural: Trav. Inst. Geol. Acad. Sci. URSS, no. 62, ser. geol., no. 19, p.102-142.
- 74- Staplin, F.L., 1961, Reef controlled distribution of Devonian microplankton in Alberta: Palaeontology, v. 4, p. 392–424.
- 75- Stockmans, F. and Y., Williere, 1960, Hystricospheres du Devonian belge (Sondage de l'Asile d'aliens? Tournai), Senckenbergiana: Lethaea, v. 41, no. 1-6, p. 1-11, pl. 1-2.
- 76- Streel, M., 1986, Miospore distribution onto the Upper Famennian-Strunian event stratigraphy: Annales de la Societe Geologique du Nord, 105, p. 85-95.
- 77- Streel, M., K., Higgs, S., Loboziak, W., Reigel, and P., Steemans, 1987, Spore stratigraphy and correlation with faunas and floras in the type marine devonian of the Ardenne-Rhenish regions: Review of Palaeobotany and Palynology, v. 50, Issue 3, p. 211-229.
- 78- Streel, M., and S., Loboziak, 1996, Paleozoic spore and pollen. Chapter 18B. Middle and Upper Devonian miospores. In Jansonius, J., McGregor, Queen Elizabeth Island, Arctic Archipelago: Geol. Surv. Can. Bull. 37-70, p. 1-157.
- 60- Paris, F., J.B., Richardson, W., Riegel, M., Streel, and M., Vanguestaine, 1985, Devonian (Emsian-Famennian) Palynomorphs from North-East Libya: J. Micropalaeontology, v. 4, p. 42-82.
- 61- Playford, G., 1964, Miospores from the Mississippian Horton Group, Eastern Canada: Geol. Surv. Can. Bull. 107 , p. 47.
- 62- Playford, G., 1976, Plant microfossils from the Upper Devonian and Lower Carboniferous of the Canning Basin Western Australia: Palaeontographica Abteilung, B. 158, p.1-71.
- 63- Playford, G., 1977, Lower to Middle Devonian Acritarchs of the Moose River Basin, Ontario: Geological Survey of Canada, Bulletin 279, p. 1-86.
- 64- Playford, G., 1981, Late Devonian Acritarchs from the Gneudna formation in the Western Carnarvon basin, Western Australia: Geobios, v. 14, Issue 2, p.145-171.
- 65- Playford, G., Dring, R.S., 1981, Late Devonian Acritarchs from Carnarvon Basin Western Australia: Special Papers in Palaeontology, v. 27, p. 1–78.
- 66- Playford, G., 1991, Australian Lower Carboniferous miospores relevant to extra-Gondwana correlations: an evaluation. In: Brenckle, P.L., Manger, W.L. (Eds.), Intercontinental Division and Correlation of the Carboniferous System: Courier Forschungsinstitut Senckenberg 130, Stuttgart, p. 85–125.
- 67- Pereira, Z., 2006, Palynostratigraphy of the Toca da mouraa and Cabrela Complexes, Ossa Morena Zone, Portugal. Geodynamic implications: Review of Palaeobotany and Palynology, v. 139, Issues 1-4, p. 227-240.
- 68- Pojarkov, B.V., 1966, Devonian Charophytes in Tien-Shan, in fossil Charophyta of the USSR: Acad. Nauk. SSSR., Trad. Geol. Inst. Trans. No. 143, p.161-200, 10 text-fig.
- 69- Rackaa, M., L., Marynowskia, P., Filipiaka, M., Sobstela, A., Pisarzowskab, and D.P.G.,

- of Palaeobotany and Palynology, v. 30, p. 165-286.
- 86- Wicander, E.R., 1974, Upper Devonian Lower Mississippian Acritarchs and Prasinophycean Alge from Ohio, U.S.A: *Paleontographica*, Lfg. 1-3, Band 148, p. 9-43.
- 87- Wicander, E.R., 1975, Fluctuations in a late devonian-early Mississippian phytoplankton flora of Ohio, U.S.A: *Palaeogeography, Palaeoclimatology, Palaeoecology*, v. 17, Issue 2, p. 89-108.
- 88- Wicander, R.E, and A.R., Loeblich, 1977, Organic-walled microphytoplankton and its stratigraphic significance from the Upper Devonian Antrim Shale, Indiana U.S.A: *Paleontographica Abteilung*, B. 160, p. 69-165.
- 89- Wicander, R.E, Playford, G., 1985, Acritarchs and spores from the Upper Devonian Lime Creek Formation Iowa U.S.A: *Micropaleontology*, v. 13, p. 97-138.
- 90- Wicander, R.E, and G.D., Wood, 1997, The use of microphytoplankton and chitinozoans for interpreting transgressive/regressive cycles in the Rapid Member of the Cedar Valley Formation (Middle Devonian), Iowa, Review of Palaeobotany and Palynology, v. 98, Issues 1-2, p. 125-152.
- D.C. (Eds.), *Palynology, principles and applications: American Association of Stratigraphic Palynologists Foundation* 2, Dallas, p. 575-587.
- 79- Turnau, E., 1999, Givetian palynostratigraphy and palynofacies: new data from the Bodzentyn Syncline (Holy Cross Mountains, central Poland): Review of Palaeobotany and Palynology, v. 106, Issues 3-4, p. 237-271.
- 80- Turnau, E., and K., Narkiewicz, 2011, Biostratigraphical correlation of spore and conodont zonations within Givetian and ?Frasnian of the Lublin area (SE Poland), Article in Press, Accepted Manuscript-Note to users: Review of Palaeobotany and Palynology.
- 81- Turner, N., E., Spinner, and C., Soanes, 1989, Further studies on the palynology of the Upper Devonian and Lower Carboniferous transition strata at Burrington Combe, Somerset, England: *Pollen et Spores*, v. 31, p. 289-315.
- 82- Turner, N., E., Spinner, and J.K., Dornig, 1995, A palynological study of the Lower Carboniferous Lydebrook Sandstone and adjacent late Wenlock and Langsettian strata, Shropshire, England: Review of Palaeobotany and Palynology, v. 84, Issues 3-4, p. 305-329.
- 83- Van Veen, P.M., 1981, Aspects of Late Devonian and Early Carboniferous palynology of southern Ireland. V. The Change in composition of palynological assemblages at the Devonian-Carboniferous boundary: Review of Palaeobotany and Palynology, v. 34, p. 67-97.
- 84- Van der Zwan, C.J., and P.M., Van Veen, 1978, The Devonian-Carboniferous transition sequence in southern Ireland: Integration of Palaeogeography and Palynology, v. 1, p. 469-479.
- 85- Van der Zwan, C.J., 1980, Aspects of late devonian and early carboniferous palynology of southern Ireland. III. Palynology of devonian-carboniferous transition sequences with special reference to the bantry bay area, co. cork: Review



#### Plate I.

**Fig. 1:** *Exochoderma irregularare* Wicander, 1974.

**Fig. 2:** *Multiplicisphaeridium varioramusum*, Hashemi & Playford, 1998.

**Fig. 3:** *Ammonidium loriferum* (Deunff), Lister, 1970.

**Fig. 4:** *Maranhites perplexus* Wicander & Playford, 1985.

**Fig. 5:** *Papulogabata annulata* Playford, 1981.

**Fig. 6:** *Cymatiosphaera perimembrana* Staplin, 1962

**Fig. 7:** *Cymatiosphaera perimembrana* Staplin, 1962.

**Fig. 8:** *Polyedryxium embudum* Cramer, 1964.

**Fig. 9:** *Stellinium micropolygonale* (Stockmans & Williere, 1960) Playford, 1977.

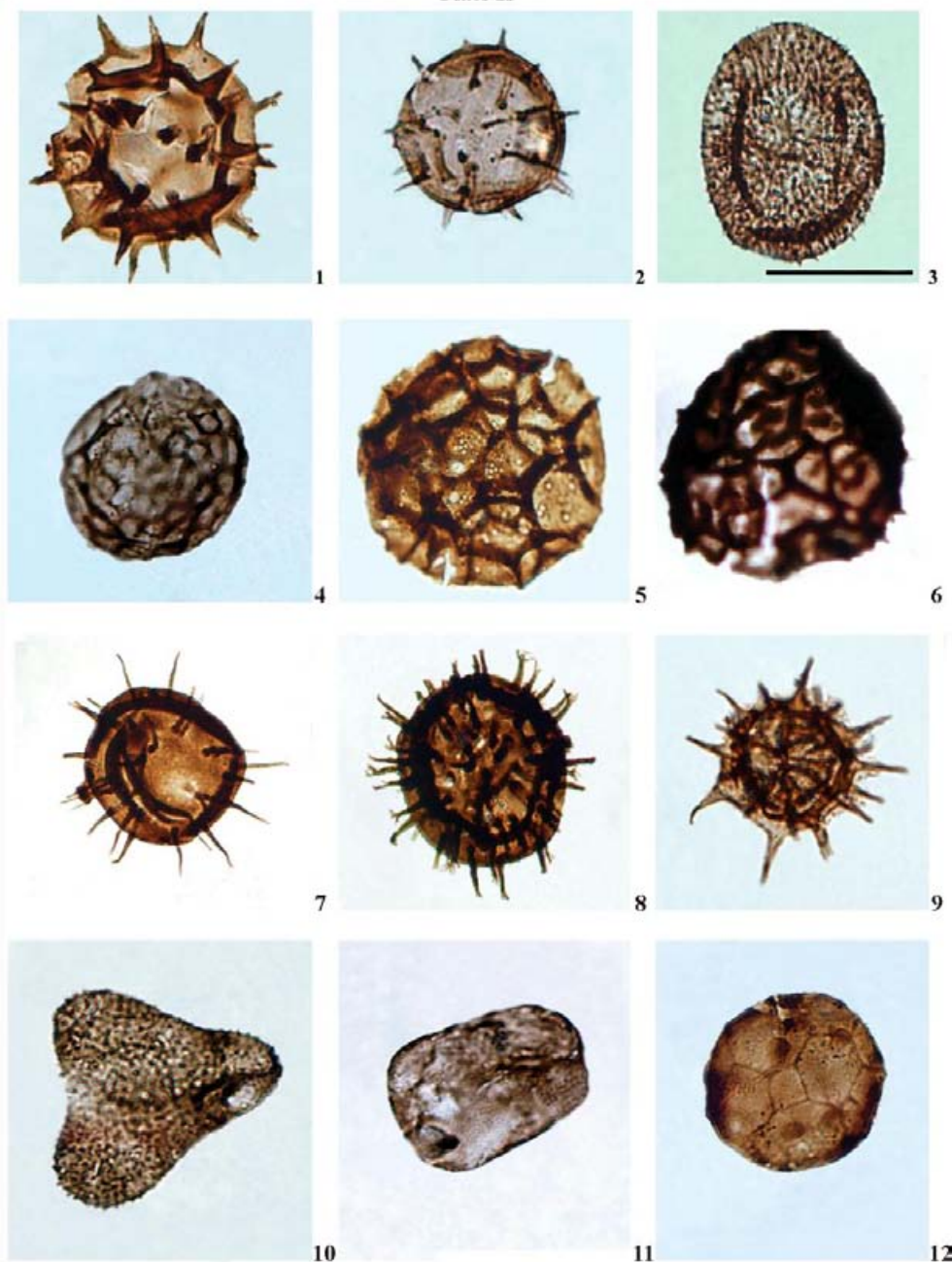
**Fig. 10:** *Cymatiosphaera turbinata* Wicander, 1977.

**Fig. 11:** *Polyedryxium pharaonis* Deunff, 1961.

**Fig. 12:** *Cymatiosphaera perimembrana* Staplin, 1962.

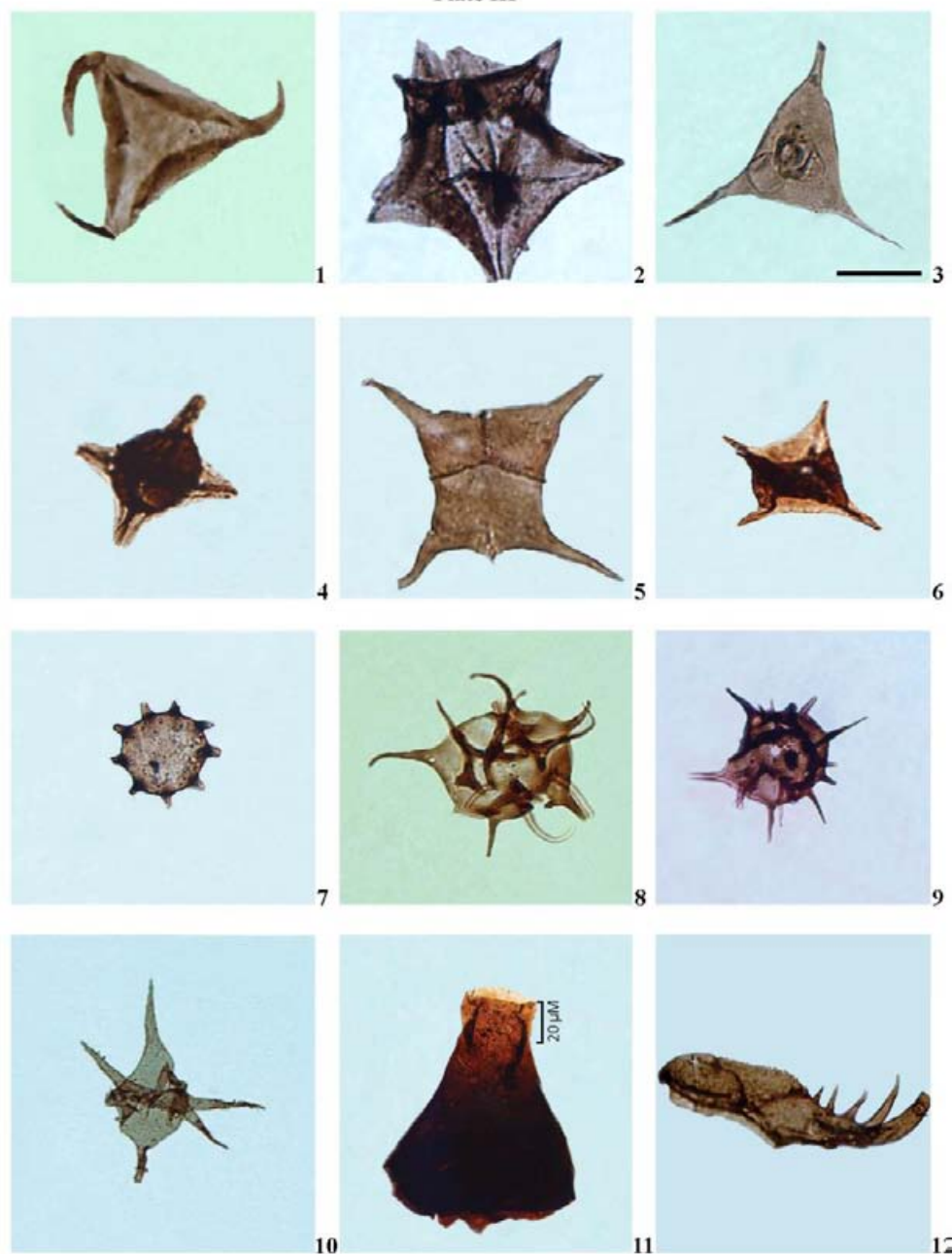
\*Scale bar = 20  $\mu\text{m}$

Plate II

**Plate II.**

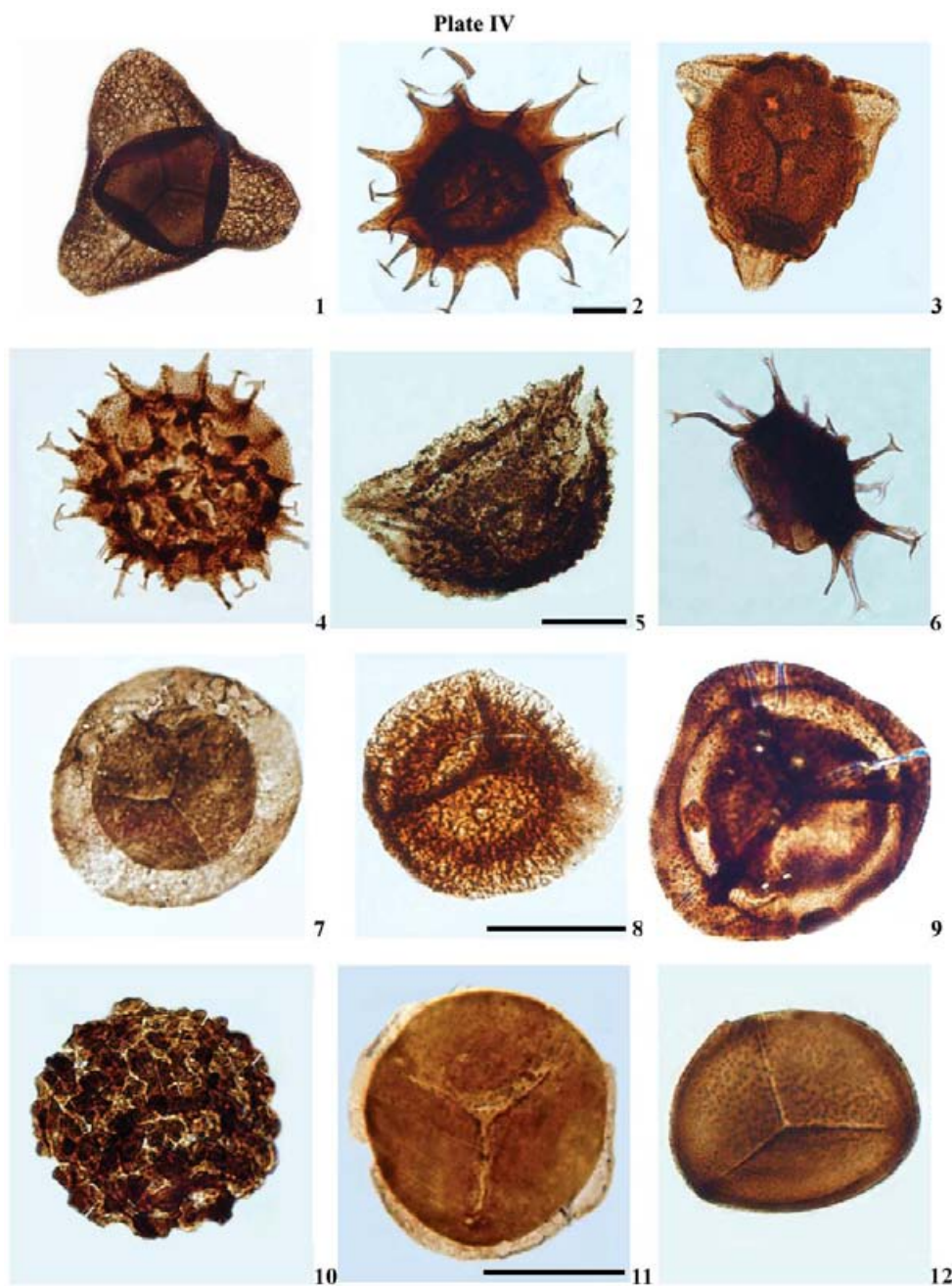
- Fig. 1:** *Solisphaeridium inaffectum* Playford in Playford and Dring, 1981.  
**Fig. 2:** *Solisphaeridium spinoglobosum* (Staplin) Wicander, 1974.  
**Fig. 3:** *Gorgonisphaeridium condensum* Playford, 1981.  
**Fig. 4:** *Dictyotidium litum* Colbath, 1990.  
**Fig. 5:** *Dictyotidium craticulum* (Wicander and Loeblich) Wicander and Playford, 1985.  
**Fig. 6:** *Melikeriopalla venulosa* Playford, 1981.  
**Fig. 7:** *Gorgonisphaeridium ohioense* (Winslow) Wicander, 1974.  
**Fig. 8:** *Gorgonisphaeridium discissum* Playford, 1981.  
**Fig. 9:** *Michrystridium stellatum* Deflandre, 1945.  
**Fig. 10:** *Deltotosoma intonsum* Playford, 1981.  
**Fig. 11:** *Horologinella horologia* Staplin, Jardine et al., 1972.  
**Fig. 12:** *Dictyotidium araiomegronium* Hashemi and Playford, 1998.

Plate III



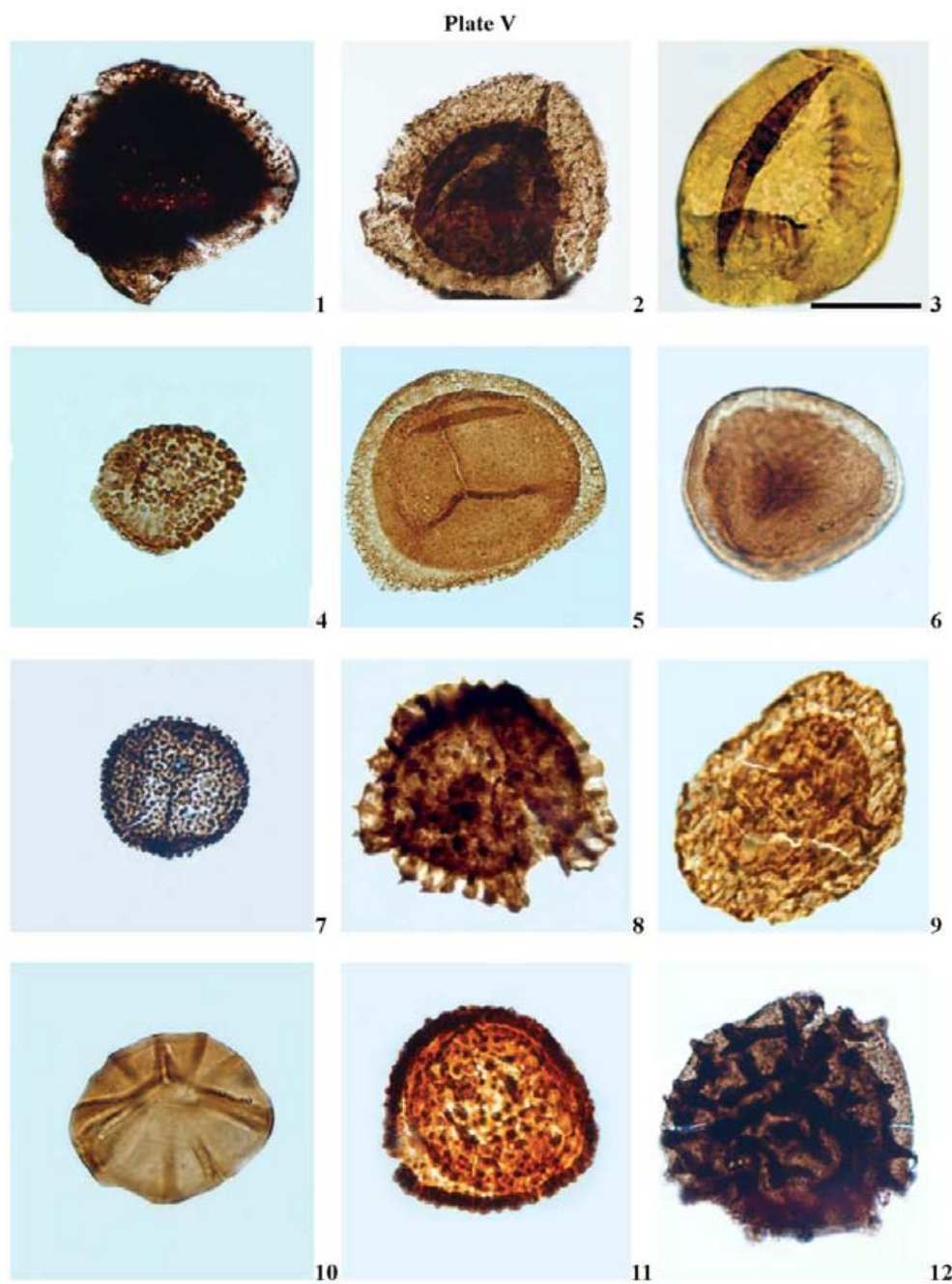
**Plate III.**

- Fig. 1:** *Veryhachium pannuceum* Wicander & Loeblich, Jr., 1977.
- Fig. 2:** *Stellinium octoaster* (Staplin) Jardine et al., 1972.
- Fig. 3:** *Veryhachium downiei* Stockmans & Williere, 1962.
- Fig. 4:** *Daillydium pentaster* Staplin, Playford, 1981.
- Fig. 5:** *Veryhachium inflatum* Hashemi & Playford, 1998.
- Fig. 6:** *Stellinium comptum* Wicander and Loeblich, 1977.
- Fig. 7:** *Tornacia stela* Wicander, 1974.
- Fig. 8:** *Unellium piriforme* Rauscher, 1969.
- Fig. 9:** *Unellium winslowae* Rauscher, 1969.
- Fig. 10:** *Straitostella sparsa* Hashemi & Playford, 1998.
- Fig. 11:** Chitinozoa.
- Fig. 12:** Scolecodont (Annelid Jaw).

**Plate IV.**

- Fig. 1:** *Auroraspora torquata* Higgs, 1975.
- Fig. 2:** *Ancyrospora pluchra* Owens, 1971.
- Fig. 3:** *Lagenicula minutus* Kimyai, 1979.
- Fig. 4:** *Ancyrospora ampulla* Owens, 1971.
- Fig. 5:** *Archaeoperisaccus opiparus* Owens, 1971.
- Fig. 6:** *Hystricosporites reflexus* Owens, 1971.
- Fig. 7:** *Diducites mucronatus* (Kedo) Van Veen, 1981.
- Fig. 8:** *Densosporites rotatus* Staplin, 1960.
- Fig. 9:** *Geminospora lemurata* Balme, 1962.
- Fig. 10:** *Verrucosporites nitidus* (Naumova) Playford, 1964.
- Fig. 11:** *Hymenozonotriletes perplexa* Balme & Hassel, 1962.
- Fig. 12:** *Geminospora punctata* Owens, 1971.

\*Scale bar = 20  $\mu\text{m}$



**Plate V.**

- Fig. 1:** *Indotriradiates explanatus* (Luber) Playford, 1991.
- Fig. 2:** *Grandispora mammillata* Owens, 1971.
- Fig. 3:** *Retusotriletes phillipsii* Clendennig, Eames and Woods, 1980.
- Fig. 4:** *Verrucosporites premnus* Richardson, 1965.
- Fig. 5:** *Rhabdosporites micropaxillus* Owens, 1971.
- Fig. 6:** *Retusotriletes distinctus* Richardson, 1965.
- Fig. 7:** *Grandispora famenensis* (Naumova, 1953) Streel, 1986.
- Fig. 8:** *Vallatisporites pussillites* (Kedo) Dolby and Neves, 1970.
- Fig. 9:** *Retispora lepidophyta* (Kedo) Playford, 1976.
- Fig. 10:** *Emphanisporites rotatus* McGregor, 1961.
- Fig. 11:** *Geminospora verrucosa* Owens, 1971.
- Fig. 12:** *Grandispora megista* Balme, 1988.